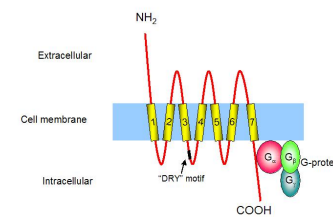


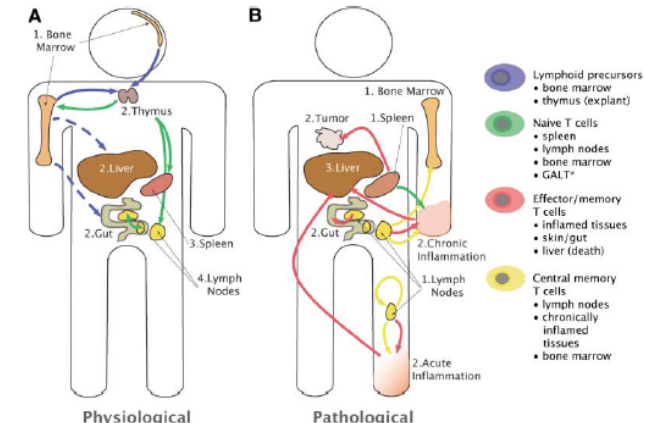
## Migrations cellulaires

Dr. Isabelle CREMER  
 MCU Université Paris 6  
 U872 INSERM, équipe 13: Microenvironnement Immunitaire et Tumeurs  
 Centre de Recherche des Cordeliers. 75006 Paris

Février 2011



## Migrations des lymphocytes T dans l'organisme



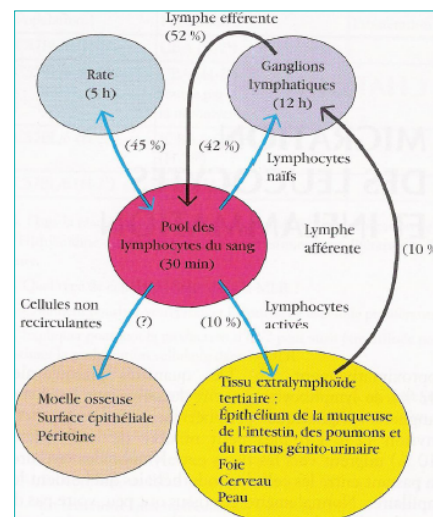
Après activation, les cellules T spécifiques de l'antigène prolifèrent de façon clonale, acquièrent des fonctions effectrices et la capacité de migrer vers les sites inflammatoires. Après élimination de l'antigène, la plupart des effecteurs meurent dans les tissus périphériques ou dans les sites centraux comme le foie. Une petite fraction des cellules entre dans le pool des lymphocytes mémoire de longue vie. Cellules mémoire divisées en 2 sous-populations: 1) T mémoire centrale (sont dans les SLO) et 2) T mémoire effecteurs, en circulation

Sumen C. et al. 2004

## Circulation des lymphocytes T dans l'organisme

Le % du pool de lymphocytes qui circule vers les divers sites et les temps de transit dans les principaux sites sont indiqués.

Les lymphocytes migrent du sang vers les ganglions lymphatiques en passant à travers des zones spécialisées des veinules postcapillaires appelées veinules à endothélium épais (HEV).



## Les molécules qui gouvernent les migrations cellulaires

- Les molécules d'adhésion
- Les molécules de la famille TNF récepteurs
- Les chimiokines et récepteurs des chimiokines

## Les molécules d'adhésion

Rôle important de l'**endothélium vasculaire**: régulation des migrations des cellules du sang vers les tissus --> **extravasation**.

Cellules endothéliales expriment des molécules d'adhésion cellulaire (CAM).

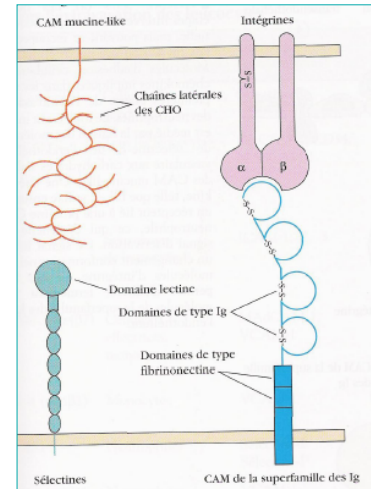
Molécules CAM: 4 familles de protéines

- sélectines
- mucine-like
- intégrines
- super-famille des immunoglobulines

Rôle des molécules CAM:

- adhésion des leucocytes aux cellules endothéliales
- interactions fonctionnelles entre cellules du système immunitaire

## Structure générale des 4 familles de molécules d'adhésion



Exemples:

<b>CAM mucine-like:</b>	<b>Sélectines:</b>
GlyCAM-1	Sélectine-L
CD34	Sélectine-P
MadCAM-1	

<b>CAM super-famille des Ig:</b>	<b>Intégrines:</b>
ICAM-1, -2, -3	$\alpha 4\beta 1$ (VLA-4)
VCAM-1	$\alpha 6\beta 1$
LFA-2 (CD2)	
LFA-3 (CD58)	
MadCAM-1	

D'après Kuby J. Immunologie 2000

## Exemples d'interactions entre les molécules d'adhésion

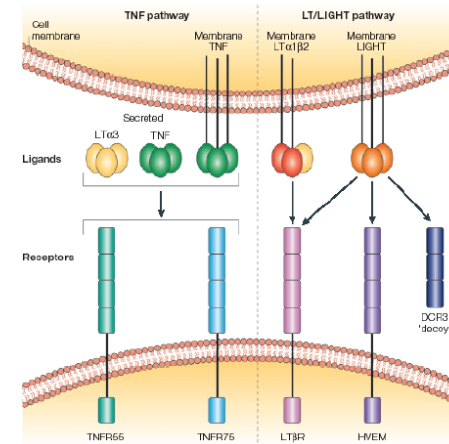
TABLEAU 15.1 Quelques interactions entre les molécules d'adhésion cellulaire impliquées dans l'extravasation des leucocytes*				
récepteur sur les cellules	Expression	Ligands de l'endothélium	Étapes impliquant une interaction	Fonction principale
Lectine-L	Cellules T effectrices	Sélectine-L	Attachement/roulement	Homing vers la peau et migration dans le tissu inflammatoire
Lectine-L	Tous les leucocytes	GlyCAM-1, CD34, MadCAM-1	Attachement/roulement	Recirculation des lymphocytes via les HEV vers les ganglions lymphatiques périphériques et migration dans les sites tertiaires d'inflammation
A-1 ( $\alpha 1\beta 2$ )	Sous-groupes de leucocytes	ICAM-1, -2, -3	Adhésion/arrêt	Rôle général dans l'extravasation des lymphocytes via les HEV et migration des leucocytes dans un tissu inflammatoire
AM-1 ( $\alpha 4\beta 7$ )	Cellules T effectrices, monocytes	MadCAM-1, VCAM-1	Roulement/adhésion	Homing des cellules T vers l'intestin via les HEV de la muqueuse ; migration dans le tissu inflammatoire
$\alpha$ -1 ( $\alpha M\beta 2$ )	Monocytes	VCAM-1	-	Migration des monocytes dans un tissu inflammatoire
GL-1	Neutrophile	Sélectine-E Sélectine-P	Attachement/roulement	Migration des neutrophiles dans un tissu inflammatoire
A-4 ( $\alpha 4\beta 1$ )	Neutrophiles, cellules T, monocytes	VCAM-1, MadCAM-1, fibrinonectine	Roulement/adhésion	Rôle général dans la migration des leucocytes dans un tissu inflammatoire
A-6 ( $\alpha 6\beta 1$ )	Cellules T	Laminine	-	Homing des cellules T progénitrices du thymus ; rôle possible dans le homing des cellules T vers les sites autres que les muqueuses

D'après Kuby J.  
Immunologie 2000

## Molécules de la famille TNF/TNF récepteur

2 voies majoritaires:

- TNF
- Lymphotoxine/Light



(Gommerman J. L. et al. 2003)

## Implication des molécules de la famille TNF/TNF récepteur dans l'organogénèse des organes lymphoïdes

récepteur	Phénotype associé avec la mutation
TNFR1	TNFRSF1A Ganglions présents/absence de formation des centres germinatifs (GC) et des plaques de Peyer (PP)
LT $\beta$ R	TNFRSF3 Absence de ganglions et PP/absence de formation des GC
RANK	TNFRSF11A Absence de ganglions/PP présentes
LT $\alpha$	TNFRSF1 Absence de ganglions et PP/microarchitecture de la rate désorganisée/absence de formation des CG
TNF	TNFRSF2 Ganglions présents/absence de formation des CG
LT $\beta$	TNFRSF3 Absence de ganglions périphériques et PP/présence de ganglions mésentériques et cervicaux/absence de formation des CG
RANKL	TNFRSF11 Absence de ganglions/PP présentes

### Les récepteurs des chimiokines et leurs ligands

	CC chemokines
CCR1	CCL3 (MIP1 $\alpha$ ), CCL5 (RANTES), CCL7 (MCP3), CCL8 (MCP2), mCCL9 (MRP2), hCCL13 (MCP4), CCL14 (HCC1), hCCL15 (HCC2), CCL16 (HCC4), hCCL23 (MIP1 $\beta$ )
CCR2	CCL2 (MCP1), CCL7 (MCP3), CCL8 (MCP2), mCCL12 (MCP5), hCCL13 (MCP4), CCL16 (HCC4)
CCR3	CCL5 (RANTES), CCL7 (MCP3), CCL8 (MCP2), CCL11 (eotaxin), hCCL13 (MCP4), hCCL15 (HCC2), hCCL24 (eotaxin-2), hCCL26 (eotaxin-3), CCL28 (MEC)
CCR4	CCL17 (TARC), CCL22 (MDC)
CCR5	CCL3 (MIP1 $\alpha$ ), CCL4 (MIP1 $\beta$ ), CCL5 (RANTES), CCL8 (MCP2), CCL11 (eotaxin), CCL14 (HCC1), CCL16 (HCC4)
CCR6	CCL20 (MIP3 $\alpha$ , LARC)
CCR7	CCL19 (ELC, MIP3 $\beta$ ), CCL21 (SLC, 6Ckine)
CCR8	CCL1 (B309, TCA3)
CCR9	CCL25 (TECK)
CCR10	CCL27 (CTACK), CCL28 (MEC)
	CXC chemokines
hCXCR1	CXCL1 (GCP2), CXCL8 (IL-8)
CXCR2	CXCL1 (Gro $\alpha$ ), CXCL2 (Gro $\beta$ ), CXCL3 (Gro $\gamma$ ), CXCL5 (ENA78), CXCL6 (GCP2), CXCL7 (NAP2), CXCL8 (IL-8)
CXCR3	CXCL9 (MIG), CXCL10 (IP10), CXCL11 (ITAC)
CXCR3b	CXCL4 (PF4), CXCL9 (MIG), CXCL10 (IP10), CXCL11 (ITAC)
CXCR4	CXCL12 (SDF-1)
CXCR5	CXCL13 (BLC, BCA1)
CXCR6	CXCL16-transmembrane chemokine
XCR1	C chemokines XCL1 (lymphotoxin), hXCL2 (SCM1b)
CX3CR1	CX3C chemokine CX3CL1 (Fractalkine)-transmembrane chemokine

Cyster J.G. 2004

## Les chimiokines et récepteurs de chimiokines

### Fonction:

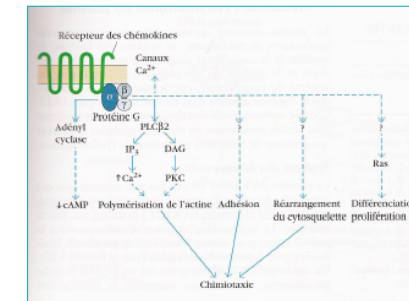
- superfamille de petits polypeptides (90-130 aa)
- contrôlent de l'adhésion et du chimiotactisme des cellules
- impliquées dans la régulation de la migration des cellules du système immunitaire

### Structure:

- possèdent 4 résidus cystéine conservés
- classées en 2 sous-groupes sur la base de la position de 2 des 4 résidus cystéines:
  - Sous-groupe C-C: cystéines conservées sont contiguës
  - Sous-groupe C-X-C: cystéines conservées séparées par d'autres aa (X)

### Récepteurs:

- 7 domaines transmembranaires
- couplés aux protéines G



## Classification fonctionnelle des chimiokines

**Table I. Human chemokines and chemokine receptors in lymphocyte traffic: a functional classification into inflammatory (pale green) and homeostatic (dark green) chemokines. Chemokines belonging to both subfamilies are shown in white.**

	Chemokines	Receptors	Functions
Inflammatory	I-TAC, MIG, IP10	CXCR3	Effector T cells*
	CXCL16	CXCR6	Effector T cells
	RANTES, MIP-1 $\alpha$ , MCP-2, MCP-3	CCR1	Effector T cells
	MCP-1, MCP-2, MCP-3, MCP-4	CCR2	Effector T cells
	Eotaxin-1, Eotaxin-2, Eotaxin-3, RANTES, MCP-2, MCP-3, MCP-4, MEC	CCR3	Effector T cells (T $\mu$ )
	RANTES, MIP-1 $\alpha$ , MIP-1 $\beta$ , MCP-2	CCR5	Effector T cells (T $\mu$ )
	i309	CCR8	Effector T cells (T $\mu$ )
	Fractalkine	CX <sub>3</sub> CR1	Effector T cells
	MDC, TARC	CCR4	Effector T cells (T $\mu$ , T $\nu$ ), memory T cells (CLA), transitional thymocytes
		CCR6	Effector T cells, B cells, memory T cells (CLA, $\alpha$ , $\beta$ )
Homeostatic	LARC		
	CTACK, MEC	CCR10	Memory T cells (CLA)
	SDF-1	CXCR4	Naive, memory T cells, B cells, thymocytes
	BCA-1	CXCR5	Follicular B helper T cells (T $\mu$ ), B cells
	SLC, ELC	CCR7	Naive, central memory T cells (T $\mu$ ), B cells, mature medullary thymocytes
	TECK	CCR9	Memory T cells ( $\alpha$ , $\beta$ ), B cells, immature thymocytes
	DC-CK1	Unknown	Naive T cells

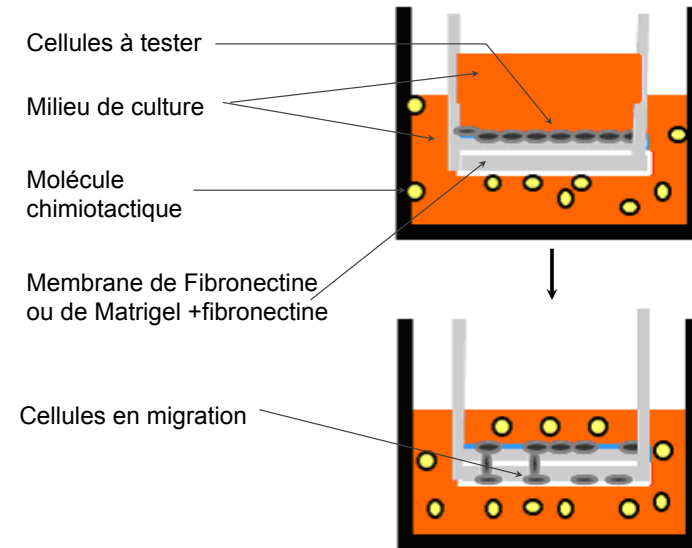
Moser B. et al. 2001

## Techniques de visualisation de la migration cellulaire

- *In vitro*: Migrations cellulaire en « transwell »
- *In vivo*: Marquage des cellules en périphérie

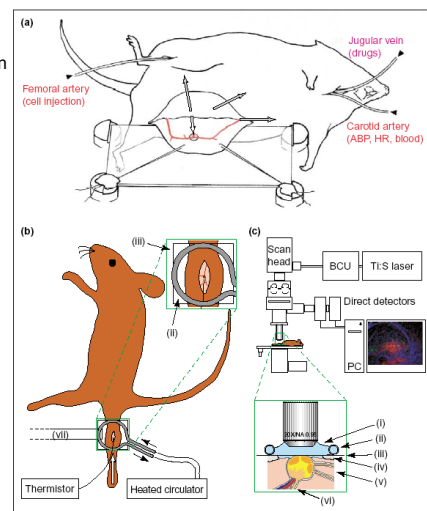
Microscopie intravitale

## Migration en transwell



## Microscopie intravitale (IVM (IntraVital Microscopy))

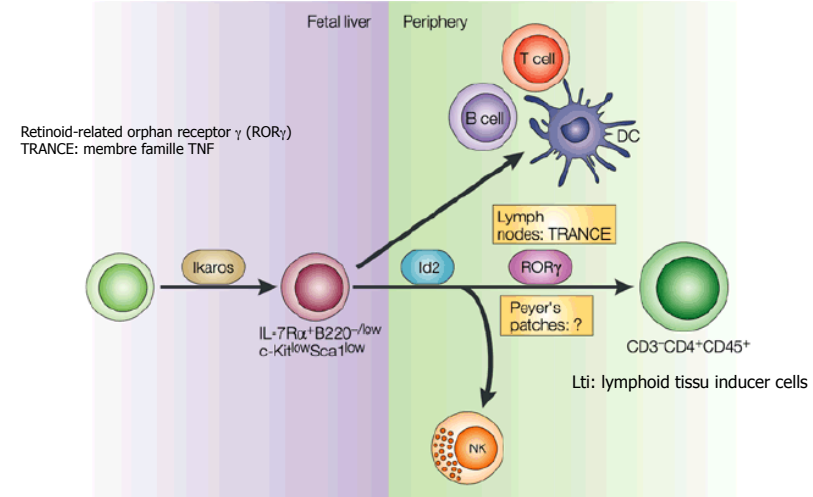
Etude de la migration des cellules dans un ganglion



Applications: migrations et interactions cellulaires *in vivo*

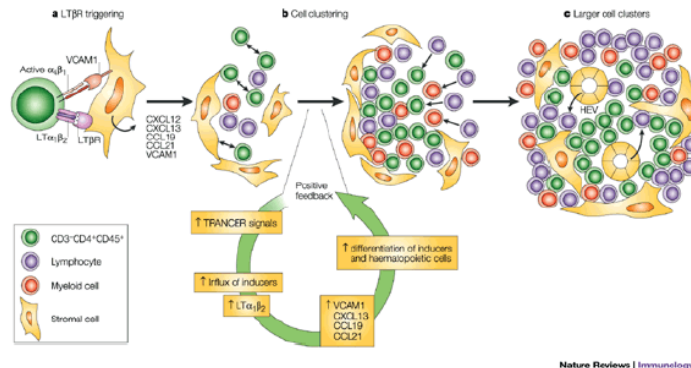
Mempel T. R. et al. 2004

## Organogénèse: génération des cellules CD3-CD4+CD45+



Mebius R. et al. 2003

## Modèle de développement d'un organe lymphoïde

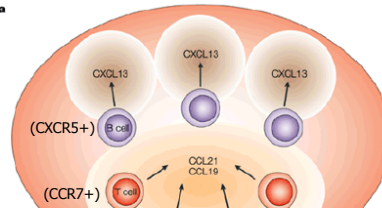


Cellules CD3-CD4+CD45+ (exprimant LT $\alpha$ 1 $\beta$ 2) interagissent avec des cellules stromales (VCAM1)+via l'intégrine  $\alpha$ 4 $\beta$ 1. Les cellules stromales expriment aussi LT $\beta$ R, et l'interaction avec les cellules CD3-CD4+CD45+ induit une signalisation par LT $\beta$ R --> production de chimiokines CCL19, CCL21, CXCL12 et CXCL13 (impliquée dans organogénèse tissu lymphoïde) et up-régulation de VCAM1. Accumulation de cellules hématopoïétiques et de cellules stromales. Production de TRANCE, qui induit différenciation des CD3-CD4- en CD3-CD4+. Des vaisseaux sanguins commencent à se différencier en HEV.

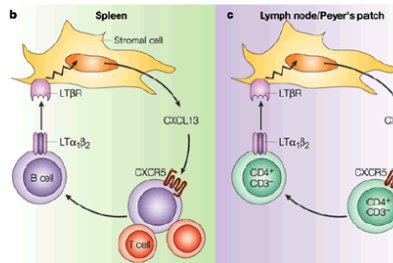
(Mebius R. E. et al. 2003)

## Rôle des chimiokines dans l'organisation d'un organe lymphoïde

a. Chez la souris adulte, la migration homéostatique des lymphocytes est régulée par CXCL13 (follicules) et CCL19/CCL21 (zones T).



b. Pour la formation des follicules B spléniques, la signalisation par CXCR5 induit une up-régulation de LT $\alpha$ 1 $\beta$ 2 par les LB.



c. Pendant le développement des ganglions et des PP, les cellules CD4+CD3- sont indispensables.

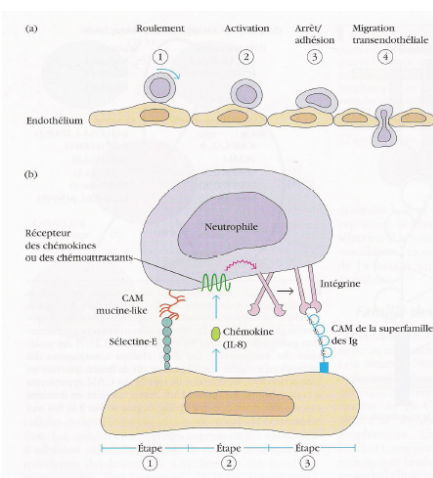
**Nature Reviews | Immunology**  
(Mebius R. E. et al. 2003)

## Migrations cellulaires pendant la réponse immunitaire

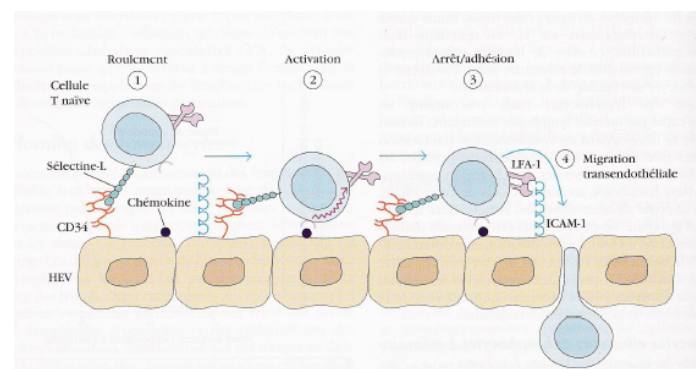
### Extravasation des neutrophiles

-Roulement initial médié par la liaison des molécules de sélectine E de l'endothélium vasculaire aux carbohydrates des CAM mucine-like.

-IL-8 se fixe sur son récepteur --> signal d'activation --> changement conformationnel des molécules d'intégrine, leur permet d'adhérer aux CAM de la superfamille des Ig.



### Extravasation des cellules T naïves à travers une HEV

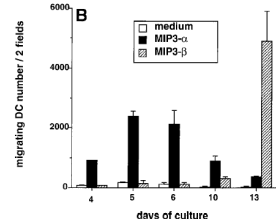
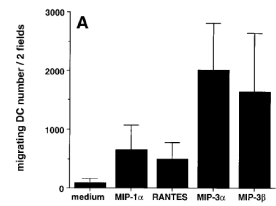


## Etude de la migration des cellules dendritiques *in vitro*

- DC générées à partir de précurseurs CD34+ (culture 10 jours avec GM-CSF et TNF- $\alpha$ )

- (A) Migration en transwell des DC en réponse à différentes chimiokines

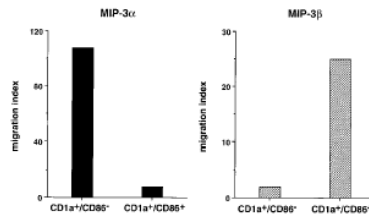
- (B) Migration en réponse à MIP-3 $\alpha$  (CCL20) ou MIP-3 $\beta$  (CCL19) au cours du temps



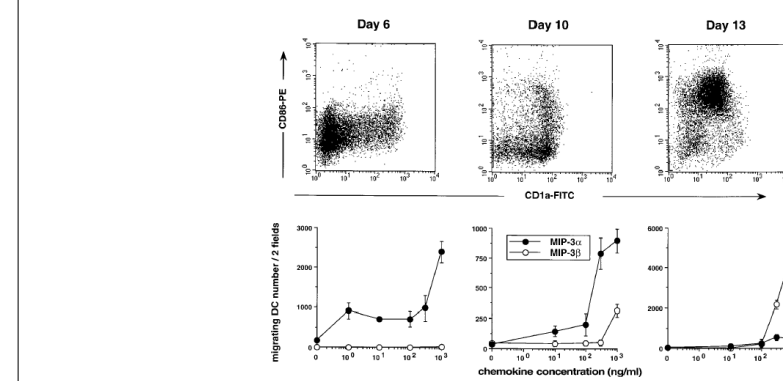
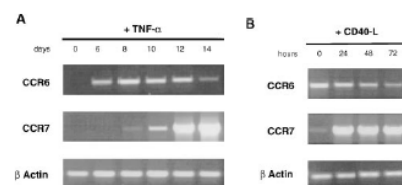
Dieu M.C. et al. 1997

Après 10 jours de culture, les DC ont été triées (FACS) en CD1a+CD86+ (DC matures) et CD1a+CD86- (DC immatures)

La migration des DC matures et immatures a été analysée



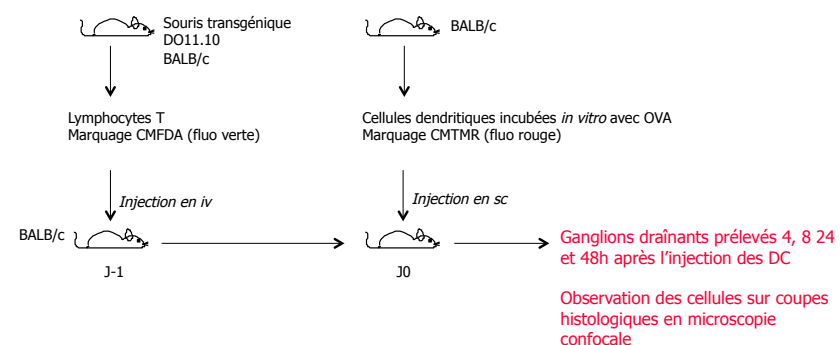
Expression de CCR6 et de CCR7 (RT-PCR) par les DC cultivées en présence de TNF- $\alpha$  ou de CD40-ligand

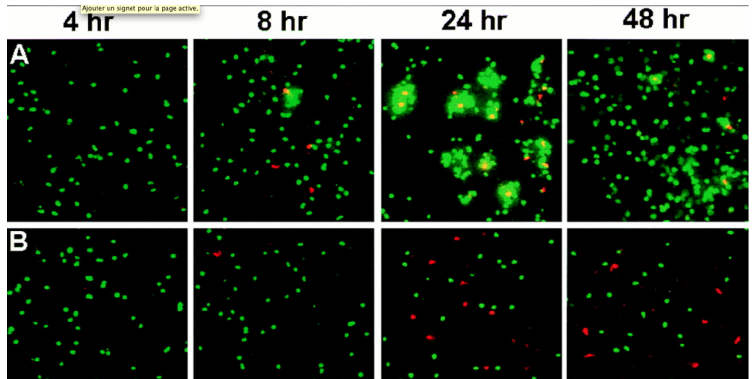


(A) Expression de CD86 et CD1a par les DC après 6, 10 et 13 jours de culture  
(B) Migration des DC aux mêmes temps

## Etude de la migration des cellules dendritiques *in vivo*

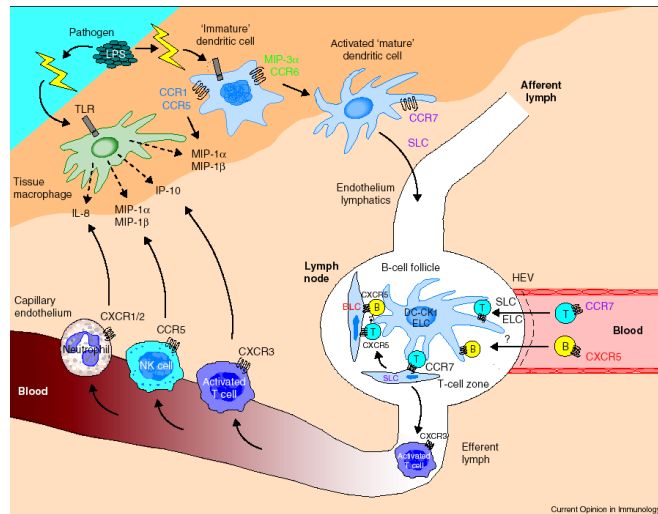
### Modèle expérimental:





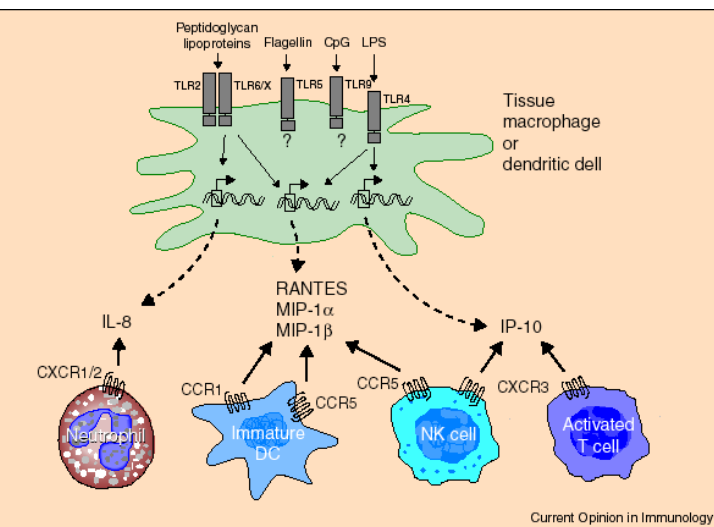
(A) DC incubées avec OVA  
(B) DC sans OVA

Ingulli E. et al. 1997



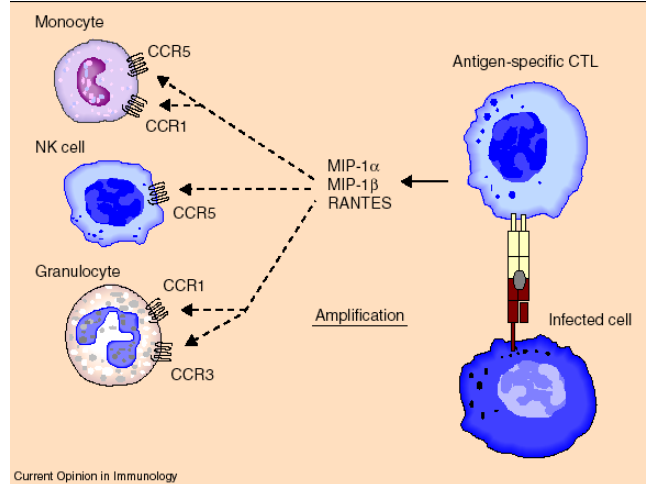
Rôle des CK dans la migration des DC, des lymphocytes T et des lymphocytes B

Luster A. et al. 2003



L'activation des TLR induit la production de chimioquines

Luster A. et al. 2003



Les chimioquines produites par les T CD8+ activées amplifient la réponse en recrutant d'autres cellules effectrices aux sites de réplication virale.

Luster A. et al. 2003

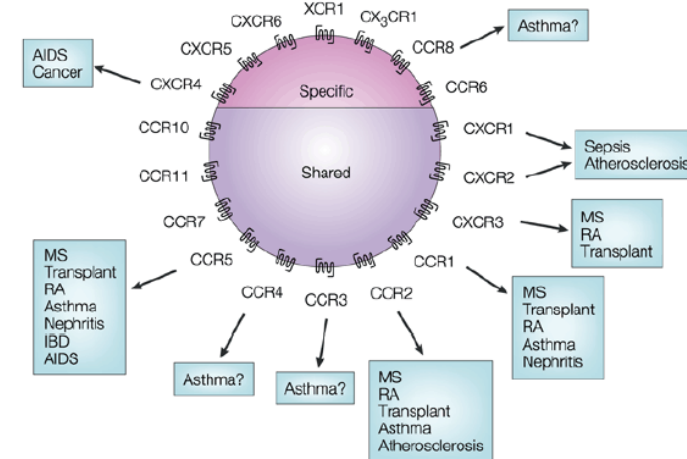
## Chimiokines et pathologies

**Table 1. Chemokines and disease**

Category	Human diseases	Animal models
Autoimmune disease	Rheumatoid arthritis; systemic lupus erythematosus; MS	Autoimmune arthritis (for example, collagen-induced arthritis); MRL-Fas <sup>lb</sup> ; experimental allergic encephalitis; Heterotopic heart allografts; sponge allografts
Graft rejection	Heart allograft rejection; kidney allograft rejection	
Infection	Acute and chronic bacterial and viral infections (especially HIV and mycobacteria); sepsis	Rodent models using the same or analogous pathogens; cecal ligation and puncture
Inflammation or allergy	Asthma; arthritis; colitis; psoriasis	Antigen sensitization and anatomically specific delivery (for example, inhaled antigen challenge in asthma models)
Neoplasia	Leukocyte recruitment in cancer; angiogenesis	Therapeutic vaccination; <i>in vivo</i> angiogenesis models
Vascular	Atherosclerosis; hypertension; ischemia-reperfusion	Hypercholesterolemic rodents; genetic models of hypertension; ischemia-reperfusion

Rodent models in which chemokines have been shown to play a role can be divided into five general categories as indicated. The human diseases relevant to the rodent models within each category are shown.

Gerard C. et al. 2001

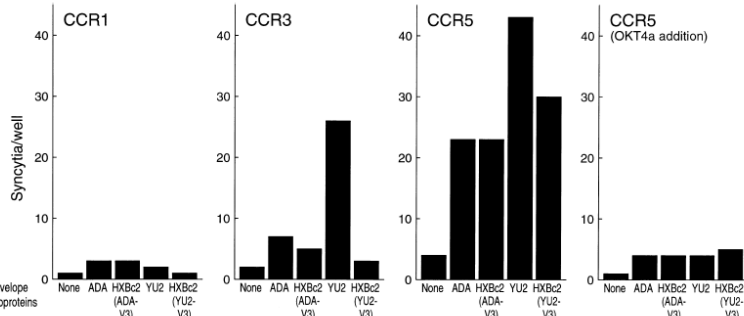


## Chimiokines et HIV

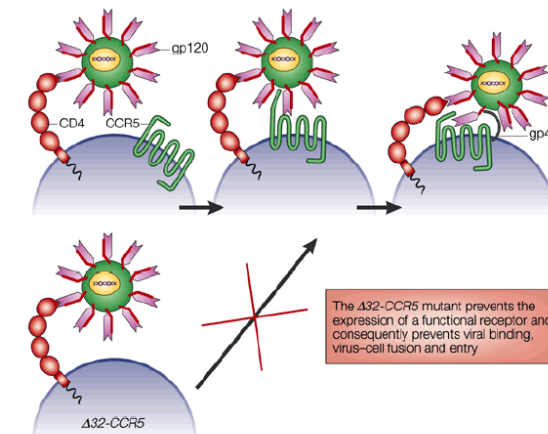
### The β-Chemokine Receptors CCR3 and CCR5 Facilitate Infection by Primary HIV-1 Isolates

Hyeyun Choe,<sup>1</sup> Michael Farzan,<sup>1</sup> Ying Sun,<sup>1</sup> Nancy Sullivan,<sup>1</sup> Barrett Rollins,<sup>2</sup> Paul D. Ponath,<sup>3</sup> Lijun Wu,<sup>4</sup> Charles R. Mackay,<sup>1</sup> Gregory Laffosse,<sup>5</sup> Walter Newmark,<sup>2</sup> Norma Gerani,<sup>1</sup> Craig Gerard,<sup>1</sup> and Joseph Sodroski<sup>1</sup>

HIV-1 infects T lymphocytes, monocytes/macrophages, dendritic cells and, in the central nervous system, microglia (Gallo et al., 1986; Koenig et al., 1986; Pope et al., 1994; Watanabe et al., 1995). All of these cells express the CD4 glycoprotein, which serves as



**Figure 4.** Effect of Chemokine Receptor Expression on HIV-1 Envelope Glycoprotein-Directed Syncytium Formation  
HeLa cells expressing either no envelope glycoprotein (None) or the ADA, YU2, HXBc2 (ADA-V3), and HXBc2 (YU2-V3) envelope glycoproteins were cocultivated with HeLa-CD4 expressing CCR1, CCR3, or CCR5. In one set of experiments, 2 µg/ml of the OKT4a antibody (Ortho Pharmaceuticals, Inc.) was added at the beginning of the cocultivation. After 12 hr, the syncytia in the wells were counted. The results of a single experiment are shown. The experiment was repeated with comparable results.



articles

## Involvement of chemokine receptors in breast cancer metastasis

Anja Müller<sup>\*†‡</sup>, Bernhard Homey<sup>\*†‡</sup>, Hortensia Soto<sup>\*</sup>, Nianfeng Ge<sup>\*</sup>, Daniel Catron<sup>\*</sup>, Matthew E. Buchanan<sup>\*</sup>, Terri McClanahan<sup>\*</sup>, Erin Murphy<sup>\*</sup>, Wei Yuan<sup>\*</sup>, Stephan N. Wagner<sup>§</sup>, Jose Luis Barrera<sup>||</sup>, Alejandro Mohar<sup>||</sup>, Emma Verástegui<sup>||</sup> & Albert Zlotnik<sup>\*</sup>

<sup>\*</sup> Department of Immunology, DNAX Research Institute, 901 California Avenue, Palo Alto, California 94304, USA

<sup>†</sup> Departments of Radiation Oncology and Dermatology, Heinrich-Heine University, Moorenstrasse 5, D-40225 Düsseldorf, Germany

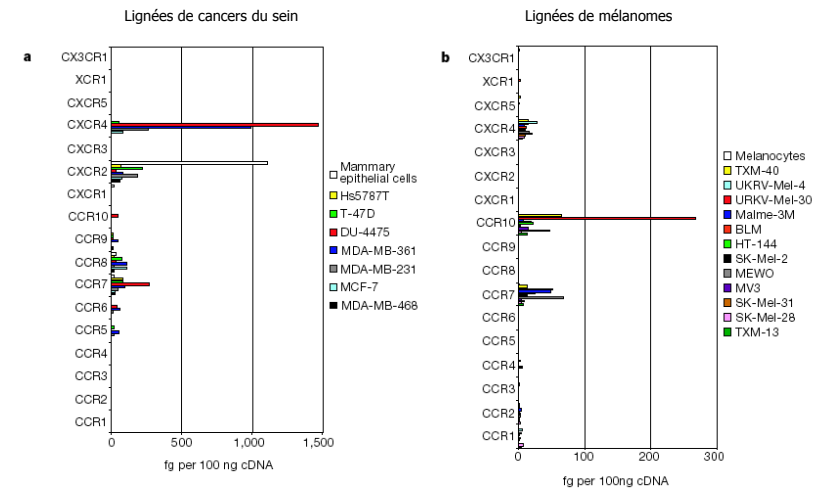
<sup>‡</sup> Department of Dermatology, University of Essen, Hufelandstrasse 55, D-45147 Essen, Germany

<sup>§</sup> Instituto Nacional de Cancerología, Av. San Fernando 22, Tlalpan 14000 D.F., México

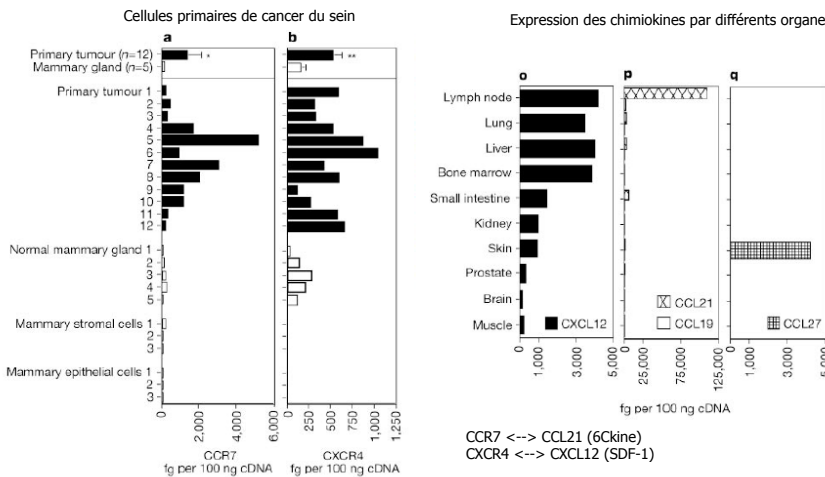
<sup>||</sup> Instituto de Investigaciones Biomédicas, Ciudad Universitaria, 04510 D.F., México

<sup>\*†‡</sup> These authors contributed equally to this work

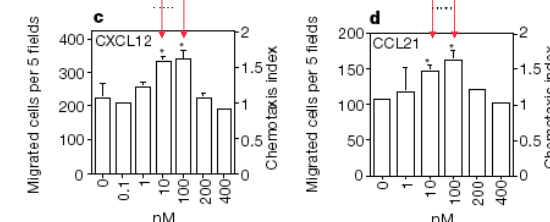
## Expression des récepteurs de chimiokines par les cellules tumorales (RT-PCR)



## Expression de CCR7 et de CXCR4 par les cellules tumorales

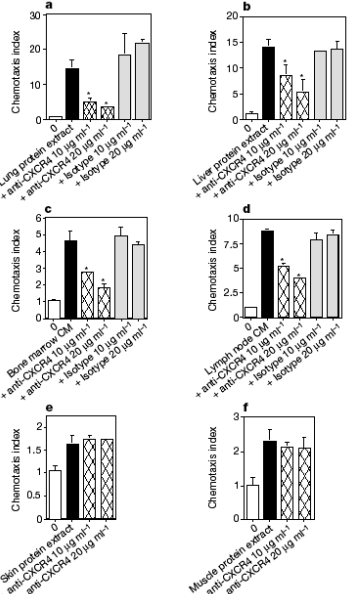


## Migration des cellules tumorales en réponse à CXCL12 (CXCR4) et CCL21 (CCR7)



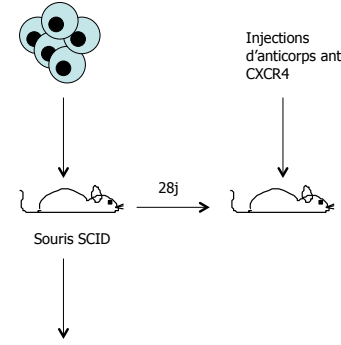
Migration des cellules de cancer du sein  
réponse à des protéines dérivées d'organes:

- (a) Poumon
- (b) Foie
- (c) Moelle osseuse
- (d) Ganglions
- (e) Peau
- (f) Muscle



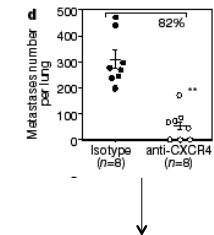
Effet de la neutralisation de CXCR4 in vivo:

Cellules de cancer du sein (CXCR4+)

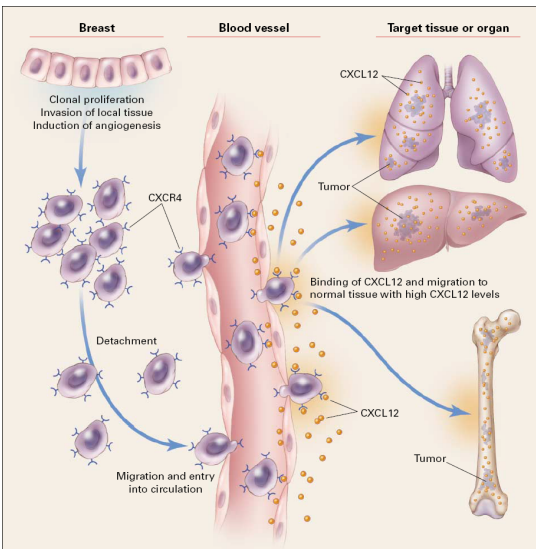


Souris SCID

Réduction du nombre de métastases



Conclusions:



Cancer du sein: présence de métastases dans les ganglions drainants, moelle osseuse, foie et poumons.  
La migration des cellules tumorales est en partie régulée par les chimiokines: cellules tumorales et cellules des métastases expriment CXCR4 et CCR7.  
Les ligands respectifs de CXCR4 et CCR7 (SDF-1 et 6Ckine) sont exprimés dans les organes où ont lieu les métastases. Métastases bloquées *in vivo* par anticorps anti-récepteur.